

## PAPER DETAILS

TITLE: Yas baca gazi desülfürizasyon yöntemler

AUTHORS: Hayrunnisa Çavuşoğlu, Mustafa Sahin Gülaboglu

PAGES: 187-194

ORIGINAL PDF URL: <https://dergipark.org.tr/tr/download/article-file/190792>



## YAŞ BACA GAZI DESÜLFÜRİZASYON YÖNTEMLERİ WET FLUE GAS DESULFURIZATION PROCESSES

Hayrunnisa ÇAVUŞOĞLU<sup>1\*</sup>, M. Şahin GÜLABOĞLU<sup>2</sup>

<sup>1,2</sup>Kimya Mühendisliği Bölümü, Mühendislik Fakültesi, Atatürk Üniversitesi, 25000, Erzurum.  
[h.mazlumoglu@hotmail.com](mailto:h.mazlumoglu@hotmail.com), [msahin@atauni.edu.tr](mailto:msahin@atauni.edu.tr)

Geliş Tarihi/Received: 15.05.2012, Kabul Tarihi/Accepted: 22.06.2012

doi: 10.5505/pajes.2013.66376

\*Yazışılan yazar/Corresponding author

### Özet

Yaş baca gazı desülfürizasyon prosesi, güç santrallerinin atık gaz muamelelerinde geniş çapta kullanılmaktadır. Kullanılan birçok proses arasında en etkili proses olduğundan, bu proses işletmeler tarafından tercih edilmektedir. Yüksek SO<sub>2</sub> geri kazanımı, absorpsiyon kimyasallarının geniş uygulanabilirliği ve kimyasal prosesin yönetiminde büyük ölçüde bilgiye gerek duyulmaması bu prosesin avantajları arasında yer almaktadır. Bu yayında başta kireç/kireç taşı prosesi olmak üzere çeşitli yaş baca gazı desülfürizasyon proseslerinden bahsedilmiştir.

**Anahtar kelimeler:** Yaş baca gazı desülfürizasyonu, FGD, SO<sub>2</sub> absorpsiyonu, Kireç/Kireç taşı prosesi.

### Abstract

The wet flue gas desulfurization process is widely used for the treatment of exhaust gases in power stations. Due to its high level of effectiveness over the already available processes, it has also been the mostly preferred method by industry. Its high SO<sub>2</sub> removal efficiency, wide applicability of absorption chemicals and the ease of the chemical process handling which does not require comprehensive knowledge are among the main advantages of this process. In this article, various wet flue gas desulfurization processes such as lime/limestone have been discussed.

**Keywords:** Wet flue gas desulfurization, FGD, SO<sub>2</sub> absorption, Lime/Limestone process.

### 1 Giriş

Kükürtlü yakıtların yüksek sıcaklıkta yanması sonucu meydana gelen kükürt oksitler içerisinde en önemli pay, SO<sub>2</sub> gazına aittir. SO<sub>2</sub>'nin bir kısmının, havada güneş ışınları veya katı partiküller tarafından katalizlenmesi ya da su damlacıkları üzerinde karmaşık reaksiyonlarla oksitlenmesi sonucu SO<sub>3</sub>'e dönüştüğü ve bundan sonra da ıslak veya kuru çökelmeyle atmosferden ayrıldığı belirlenmiştir. Havadaki SO<sub>2</sub> belli değerlerin üzerine ulaştığı zaman solunum yolu rahatsızlıklarını ortaya çıkarır, özellikle akciğer yetmezliği ve solunum sistemi hastaları için öldürücü olabilir. Bunun yanında bitkiler ve teknolojik maddelere de zarar verir. Ama yaptığı en ciddi etki asit yağışlarıyla bitki örtüsünü, ormanları tahrip etmesi, toprağın ve su kaynaklarının doğal yapısını bozmaktır [1]. SO<sub>2</sub>'nin yol açtığı atmosferik kirlenmeyi kontrol etmek amacıyla uygun bir proses geliştirmek için bütün dünyada büyük bir çaba gösterilmiştir. Bu prosesler şu şekilde sınıflandırılabilir; (i) kuru prosesler (ii) yaş prosesler. İki metot arasındaki temel farklılık, reaktif madde ile kirliliğin teması tarzıdır. İlk proses, toprak alkali ve alkali metal bazik bileşikleri ile genellikle yüksek sıcaklıklarda kuru absorpsiyon ile gerçekleştirilir oysa ikinci proseste absorpsiyon, reaktif maddenin çözeltisi veya süspansiyonu ile baca gazının iyi bir şekilde teması sonucu meydana gelir [2]. Aşağıda yaş baca gazı desülfürizasyon (WFGD) tekniklerinden bazılarına degenilmi, özellikle kireç/kireç taşı proseslerinin teorik esasları üzerinde durulmuştur.

#### 1.1 Toprak Alkali Metal Prosesleri

Kireç/kireç taşı prosesleri, güç tesislerinde bulunan baca gazı yıkama ünitelerinde kullanılan en etkili yöntemdir ve bu konu üzerinde birçok inceleme yapılmıştır. Kireç/kireç taşı proseslerinde baca gazı, önce soğutulur, daha sonra kireç taşıının veya kireçin sulu süspansiyonu ile bir absorpsiyon kulesinde yanılır. Gaz karışımı içinde bulunan SO<sub>2</sub>, kalsiyum sülfit ve/veya sülfat oluşturmak üzere süspansiyon ile

reaksiyona girer. Temizlenen gaz atmosfere gönderilir. Oluşan bu maddeler ortamdan uzaklaştırılmak amacıyla ya hava oksijeni ile jipse ya da farklı inert yan ürünlerine dönüştürülür, depolanır veya satışı sunulur [3, 8]. Ayrıca tüm WFGD proseslerinin kısaca açıklamaları, avantajları-dezavantajları ve ticari bilgileri Lunt [9] tarafından yayınlanmıştır.

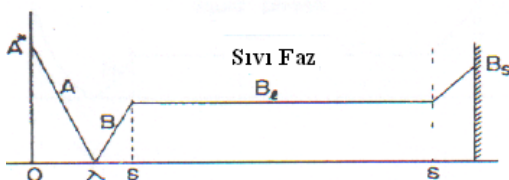
Kireç/kireç taşı çamuru içinde gaz absorpsiyon mekanizmasının anlaşılması, baca gazından SO<sub>2</sub>'nin giderildiği bu proseslerin gelişmesinde önemli bir rol oynamıştır. WFGD proseslerinde yer alan kireç taşı yönteminde, ince öğütülmüş kireç taşı su içinde dağılır ve bir süspansiyon oluşturur. Baca gazında bulunan SO<sub>2</sub>, suda absorplanır ve kireç taşı ile reaksiyona girer. Bu durum üzerine ilk modelleme çalışması Ramachandran ve Sharma [10] tarafından geliştirilmiş ve iki başlık altında incelenmiştir;

1) Sıvı filminde katı çözünmesinin önemsiz olduğu durum; Bu durum, çözünen katının konsantrasyonu düşük olduğu zaman veya katının tanecik boyutu, sıvı film kalınlığından daha büyük olduğu zaman meydana gelir. Bu şartlar söz konusu olduğunda katının çözünme miktarı ihmali edilebilecek derecede azdır ve katı çözünmesi ile kimyasal reaksiyonun seri olarak meydana geldiği kabul edilebilir. Bu prosesin işleyişi şu şekildedir;

- (i) Gaz filmi boyunca gaz türü A'nın difüzyonu,
- (ii) Katı türü B'nin çözünmesi,
- (iii) Difüzyon ve gaz-sıvı ara yüzeyine yakın olan sıvı filmde çözünmüş gazın kimyasal reaksiyonu.

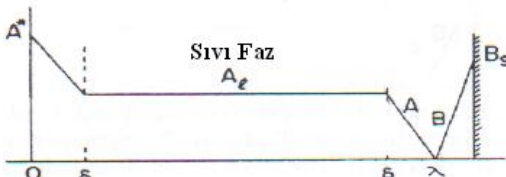
Uchida [11] ise bu durumu konsantrasyon profillerine göre kendi içinde üç gruba ayırır;

(a) Gaz absorpsiyon hızı, katı çözünme hızından düşük olduğu zaman yoğun sıvı fazda çözünmüş katının konsantrasyonu, kararlı hal şartları altında belli bir değerde kalır. A ve B türü arasındaki reaksiyonun düzlemi, gaz-sıvı ara yüzeyine yakın sıvı filmde oluşur (Şekil 1).



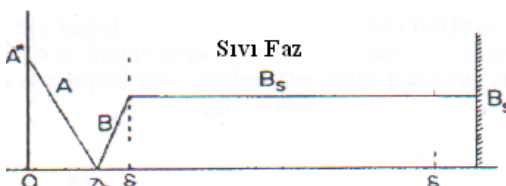
Şekil 1: B'nin transferi A'dan daha hızlıdır.

(b) Gaz absorpsiyon hızı, katı çözünme hızına göre daha fazla olduğu zaman yiğin sıvı fazda bulunan çözünmüş katı türü B tükenir ve reaksiyon düzlemi katı etrafındaki sıvı filmde oluşur (Şekil 2).



Şekil 2: B'nin transferi A'dan daha yavaştır.

(c) Gaz absorpsiyon hızı katı çözünme hızından çok daha küçük olduğu zaman yiğin sıvı fazda bulunan çözünmüş B türlerinin konsantrasyonu, doygunluk çözünürlüğü  $B_s$ 'de sabit kalır ve reaksiyon düzlemi, gaz-sıvı ara yüzeyine yakın sıvı filmde meydana gelir (Şekil 3).

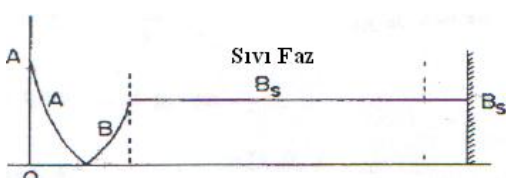


Şekil 3: B'nin transferi A'dan çok daha hızlıdır.

2) Sıvı filminde katının çözünmesinin önemli olduğu durum [10];

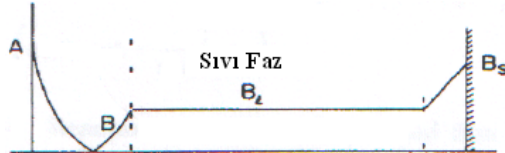
Katı taneciğin ortalama boyutu, sıvı film kalınlığından önemli ölçüde küçük ve katı konsantrasyonu yüksek olduğu zaman filmde meydana gelen katı çözünmesi önemli olur. Bu durumda katı çözünmesi ve kimyasal reaksiyon paralel adımlar olarak gerçekleşir. Filmde katının çözünmesi ile filmdeki reaktif türlerin lokal konsantrasyonu ve böylece absorpsiyon hızı artar. Çözünmüş gaz ve katı arasındaki reaksiyonun anlık olarak gerçekleştiği kabul edilir ve kütle transferine karşı gaz tarafı direnci ihmal edilebilir. Sıvı filmdeki katı çözünmesi, reaksiyon düzlemini gaz-sıvı ara yüzeyine doğru değiştirir ve böylece absorpsiyon hızı artar. Uchida [11] bu durumda konsantrasyon profilleri üç şekilde inceler;

(a) Katının çözünme hızı, gaz absorpsiyon hızından çok daha büyütür ve bu nedenle çözünmüş katı B'nin konsantrasyonu, doygunluk konsantrasyonunda sabit kalır ve ana reaksiyon düzlemi gaz-sıvı ara yüzeyine yakını sıvı filmde meydana gelir (Şekil 4).



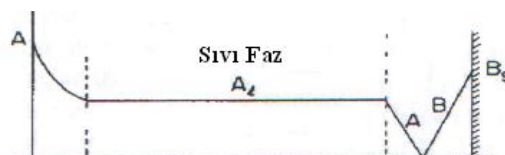
Şekil 4: A'nın transferi B'den çok daha yavaştır.

(b) Gaz absorpsiyon hızı, katı çözünme hızından daha fazla olduğu zaman yiğin sıvıda çözünmüş B türünün konsantrasyonu doygunluk çözünürlüğü  $B_s$ 'den daha düşük olur ve bu nedenle ana reaksiyon düzlemi, gaz-sıvı ara yüzeyine yakın sıvı filmde meydana gelir (Şekil 5).



Şekil 5: B'nin transferi A'dan daha hızlıdır.

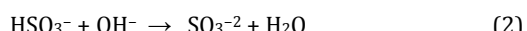
(c) Gaz absorpsiyon hızı katı çözünme hızına göre çok daha fazla olduğu zaman reaksiyon düzlemi, yiğin sıvı fazındaki katı taneciğin yakınındaki sıvı filminde oluşur (Şekil 6).



Şekil 6: B'nin transferi A'dan çok yavaştır.

WFGD prosesi için birçok yöntem denenmiştir. Örneğin; Bjerle [12] bir sıvı jet absorberde  $\text{CaCO}_3$  çamuru içinde  $\text{SO}_2$ 'nın absorpsiyonu üzerine deneyler gerçekleştirmiştir. Kütle transfer katsayısını belirlemek için deneyler ilk olarak su içinde daha sonra %2'lik  $\text{CaCO}_3$  çamuru içinde gerçekleştirilmişdir. Sonuçta  $\text{CaCO}_3$  çamurunda meydana gelen absorpsiyon hızı sudakinden biraz daha fazla çıkmıştır (yaklaşık olarak %10). Bu durum  $\text{SO}_2$  ve  $\text{HCO}_3^-$  arasında meydana gelen (13) reaksiyonundan kaynaklanır. Ancak bu tip absorberlerde sıvı ile gaz arasındaki temas süresi çok kısalır ve bu yüzden  $\text{CaCO}_3$  çözünmesinin absorpsiyon hızı üzerinde etkisinin az olduğu görülür. Şayet temas süresi daha uzun olursa, katı çözünmesinin etkisi o ölçüde önemli olur.

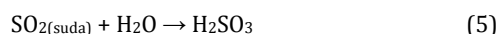
Sada [13],  $\text{CaCO}_3$  ve  $\text{Mg}(\text{OH})_2$  içeren bir çözelti içinde az miktardaki  $\text{SO}_2$ 'nın absorpsiyonunu incelemiştir ve iki reaksiyon düzlemleri göre kimyasal türlerin konsantrasyon değişimlerini vermiştir.  $\text{Mg}(\text{OH})_2$  çözeltisi içinde  $\text{SO}_2$  absorpsiyonu ile birlikte gerçekleşen kimyasal reaksiyonlar şu sekildedir;

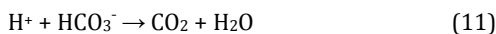
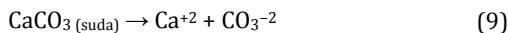
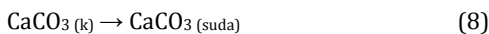


$\text{Mg}(\text{OH})_2$  ile doyurulmuş berrak çözelti için konsantrasyon profilleri Şekil 7(a)'da verilmiştir. Çok küçük boyuttaki  $\text{Mg}(\text{OH})_2$  partikülleri, sıvı film içinde süspansiyon olduğu zaman konsantrasyon profilleri Şekil 7(b)'de gösterildiği gibi olur. Ortada  $\text{Mg}(\text{OH})_2$ 'nin bulunması  $\text{CaCO}_3$  süspansiyonu ile yapılan desülfürizasyon etkinliğini artırmaktadır.

Takashina [14], kireç taşı-jips prosesinde kimyasal reaksiyonlu  $\text{SO}_2$  absorpsiyonunun mekanizmasını inceledi. Kireç taşı çamuru içinde  $\text{SO}_2$  absorpsiyon mekanizması ile ilgili olarak aşağıdaki adımlar ele alınabilir;

Gaz filminde  $\text{SO}_2$  difüzyonu (3)



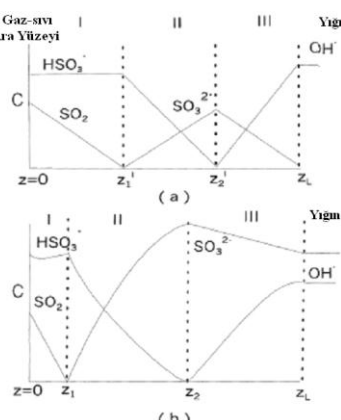


Sıvı filmde çözünmüş türlerin difüzyonu  $(12)$

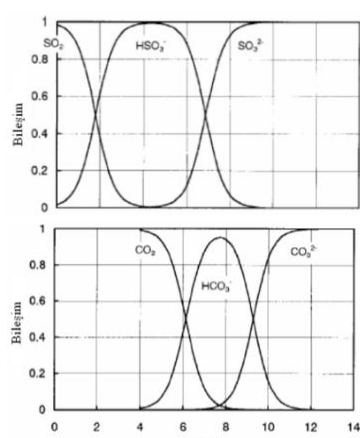


İlk olarak  $\text{SO}_2$  gazi, gaz-sıvı film boyunca difüzlenir, sıvı içinde çözünür ve ayrılır. Aynı anda katı kireç taşı da çözünür ve ayrılır. Bundan sonra sulfit ve karbonat iyonları, (13)-(15) reaksiyonlarına göre sıvı filmde birbirleri ile reaksiyona girer.

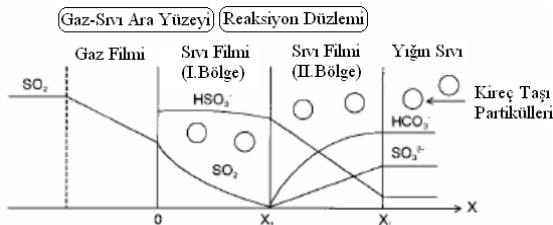
Reaksiyonun ana türleri asit ayrışmasına maruz kaldığından, çözünme derecesini önemli ölçüde etkileyen absorban sıvısının pH'sını dikkate almak gereklidir. Şekil 8'de pH'a karşı karbonat ve sülfit iyonlarının bileşimi gösterilmiştir. Burada WFGD tesislerinde absorban sıvısının pH'sının 6.0 civarında olduğu ve bu bölgede  $\text{CO}_3^{-2}$  miktarının çok düşük olduğu saptanmıştır. Buna göre bu şartlar altında film modeli (13) ve (14) reaksiyonları ele alınarak iki bölge dikkate alınır ve (15) reaksiyonu hesaba katılmaz. Bu durum için konsantrasyon profilleri Şekil 9'da gösterilmiştir.  $x=x_1$  reaksiyon düzleminde (13) ve (14) reaksiyonları anlık olarak ele alınır ve  $x=x_1$  düzleminde absorplanan  $\text{SO}_2$ 'nin tükendiği kabul edilir. Eğer sıvı film içinde katı çözünmesi dikkate alınırsa sıvı filmde kireç taşı ile reaksiyonundan dolayı  $\text{SO}_2$ 'nin konsantrasyon profili Şekil 9'da gösterildiği gibi eğri şeklinde olur.



Şekil 7:  $\text{SO}_2$ - $\text{Mg}(\text{OH})_2$  sistemi için konsantrasyon profilleri.



Şekil 8: Karbonat ve sülfit iyonlarının bileşim eğrileri.



Şekil 9:  $\text{SO}_2$  absorpsiyonunun gaz-sıvı ara yüzeyinde konsantrasyon profilleri.

Bundan başka (11) ve (13) reaksiyonları ile üretilen  $\text{CO}_2$ 'nın aşağıdaki (16) reaksiyonu meydana gelmeden desorplandığı kabul edilir;



Takashina [15], amonyum konsantrasyonunun desulfürizasyona etkisini inceledi. Bu durumda kireç taşı partiküllerinin çevresinde yüksek pH görüldüğü için amonyum (17) reaksiyonunda görüldüğü gibi kireçtaşının çözünmesi ile bağlantılı olarak ele alınır;



Bu sebepten katı-sıvı film içinde bulunan amonyum iyonunun, kireç taşının çözünme hızını ve buna bağlı olarak gaz absorpsiyon hızını artırdığı görülmüştür.



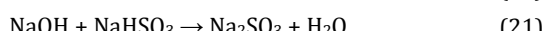
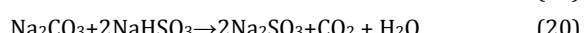
Absorpsiyon kolonunda, pH 6 civarında (18) reaksiyonuna göre oluşan sülfitlerin baca gazındaki oksijen ile tamamen sülfata yükseltgenmesi zor olduğundan, bir yükseltgenme tankında pH 3,7 civarına ayarlandıktan sonra kolaylıkla hava oksijeni ile yükseltgenir ve jips olarak ayrılır. Eğer absorpsiyon kulesindeki çözeltinin pH'sı 3,7 civarında ise o zaman absorpsiyon kulesinden çıkan süspansiyon büyük oranda jips içerir ve mekanik ayırma işlemi ile absorpsiyon ortamından ayrılır. Elde dilen jips, içerdiği bileşikler yüzünden genellikle endüstride kullanılmaz, depolanır [16].

Kireç/kireç taşı WFGD prosesinde ilave edilen belirli bileşiklerin absorban reaktivitesini ve  $\text{SO}_2$  giderim hızını artırmak, paslanma oluşumunu önlemek, tampon etkisi göstermek gibi proses üzerine çeşitli etkilerinin olduğu belirtilmiştir [17].

## 1.2 Alkali Metal Prosesleri

### 1.2.1 Rejenere Olmayan Alkali Metal Prosesi

Az miktarda  $\text{SO}_2$  içeren durumlarda uygulanan bu proses tikanma, paslanma ve erozyon sorunlarını minimuma indiren  $\text{NaOH}$ ,  $\text{NaHCO}_3$  ve  $\text{Na}_2\text{CO}_3$ 'ün yıkama çözeltisi kullanılır [9-18]. Meydana gelen reaksiyonlar şu şekildedir;

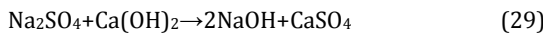
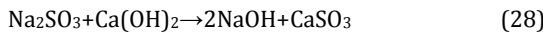
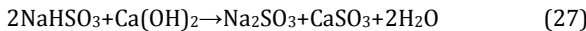
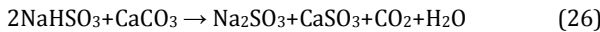
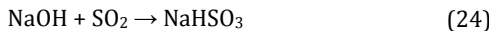
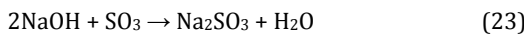


Gerekli olan sermayenin düşük, uygulanacak sistemin basit ve meydana gelen sodyum sülfitin önemli bir pazar değerine sahip olması bu prosesin avantajları arasındadır [6].

### 1.2.2 Çift Alkali Prosesi

Bu prosesde amonyak, potasyum ve sodyum tuzları kullanılabilmesine karşın genellikle sodyum tuzları tercih edilir.  $\text{SO}_2$  ve az miktardaki  $\text{SO}_3$  içeren gaz,  $\text{NaHSO}_3$ ,  $\text{Na}_2\text{SO}_4$  ve  $\text{Na}_2\text{SO}_3$ 'i oluşturmak üzere  $\text{Na}_2\text{CO}_3$ ,  $\text{NaOH}$ ,  $\text{NaHCO}_3$ ,  $\text{Na}_2\text{SO}_3$

çözeltileri ile yılanır. Daha sonra elde edilen çözelti, kireç veya kireç taşı ile rejener edilir, çözelti sisteme yeniden beslenir [6, 19]. Oksijen konsantrasyonunun fazlalığında sülfitin %5-10'nunun sulfata okside olduğu durumda NaOH ile meydana gelen reaksiyonlar aşağıdaki şekilde dir [2];



### 1.2.3 Welman-Lord Prosesi

Bu proses, ilk olarak elementel kükürt ve  $\text{H}_2\text{SO}_4$  üretmek için  $\text{SO}_2$ 'yi elde etmek amacıyla kullanılmıştır.  $\text{SO}_2$  absorpsiyonu için  $\text{Na}_2\text{SO}_3$  yıkama çözeltisi kullanılır. Elde edilen  $\text{NaHSO}_3$  çözeltisi termal sıyırmaya işleminden geçirilir, çıkan  $\text{SO}_2$  soğutulup, kurutulur ve sıvı  $\text{SO}_2$  halinde depolanır. Rejener edilen çözeltiden  $\text{Na}_2\text{SO}_4$  çöktürülerek ayrılır ve tekrar absorpsiyon kolonuna gönderilir [20, 21]. Geniş konsantrasyon aralıklı  $\text{SO}_2$  içeren baca gazlarına uygulanabilmesine rağmen, bu prosesin pahali olması gibi bir dezavantajı vardır [9].

### 1.2.4 Elsorb Prosesi

$\text{SO}_2$ , sodyum fosfat çözeltisinde absorplanır ve absorbanı rejener etmek ve  $\text{SO}_2$ 'yi geri kazanmak için termal olarak sıyırmaya işlemi yapılır. Berrak yıkama çözeltisi absorberde paslanma problemlerini azaltır, giriş akımında bulunan  $\text{SO}_2$ 'nin geniş bir aralığına uygulanabilir ve  $\text{SO}_2$  açısından zengin bir gaz elde edilir. Bu proses Welman-Lord prosesine benzemesine rağmen onun kadar yaygın değildir [9].

### 1.2.5 Çinko Oksit Prosesi

Baca gazı,  $\text{Na}_2\text{SO}_3$  ve  $\text{NaHSO}_3$ 'in sulu çözeltisi ile absorpsiyon kulesinde yılanır, alttan alınan çözeltiye  $\text{ZnO}$  ilave edilir ve sonuçta çözünmeyen çinko sülfit bileşiği ile  $\text{NaOH}$  çözeltisi oluşur. Çözelti, absorpsiyon kulesine tekrar beslenir. Daha sonra çökteli üzerine sızme, kurutma ve kalsinasyon işlemleri yapılarak  $\text{SO}_2$  ve tekrar kullanılacak  $\text{ZnO}$  elde edilir [22]. Berrak çözeltinin kullanımından dolayı paslanma ve tikanma problemlerinin azalması, yüksek bir giderim kapasitesi olması,  $\text{SO}_2$  üretilmesi gibi avantajlarının yanında bu prosesin yatırım maliyetlerinin yüksek olması ve bütün parametrelerin tüm operasyon boyunca belirlenmemesi gibi dezavantajları vardır [9].

### 1.2.6 Sitrat Prosesi

Sodyum sitrat, sitrik asit ve sodyum tiyosülfattan oluşan çözelti yardımı ile soğuyan ve temizlenen baca gazından  $\text{SO}_2$  alınır. Absorplanan  $\text{SO}_2$ , elementel kükürt halinde çöktürmek için  $\text{H}_2\text{S}$  ile reaksiyona sokulur ve meydana gelen katı kükürt ortamdan ayrılır, çözelti tekrar absorpsiyon işlemeye gönderilir. Elde edilen kükürdüne bir kısmı  $\text{H}_2\text{S}$  üretimi için kullanılır [9, 23-24]. Bu proseste meydana gelen paslanma problemlerine rağmen tikanma problemlerini azaltan temiz bir çözelti kullanılır. Proses  $\text{SO}_2$  giriş konsantrasyonunun geniş bir aralığına uygulanabilir, direkt olarak kükürt üretilir. Buna karşın yüksek korozif şartlardan dolayı pahali metaryeller kullanılmalıdır, safsızlıklar kontrol

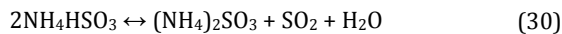
etmek için temiz bir akım gereklidir ve kompleks bir yapıya sahiptir [9].

### 1.3 Amonyak Prosesleri

Amonyağın sulu çözeltisinde,  $\text{SO}_2$ 'nin absorpsiyonuna dayanan birkaç proses vardır. Bu proseslerde suni gübre üretilir [6].

#### 1.3.1 Isıl Rejenerasyonlu Amonyak Prosesi

Baca gazında bulunan  $\text{SO}_2$ , absorpsiyon kolonunda amonyum sülfit çözeltisi ile tutulur, kükürt ve  $\text{H}_2\text{SO}_4$ 'e dönüştürülerek üzere  $\text{SO}_2$ 'nin geri kazanılması için çözelti, termal olarak sıyrıılır [9]. Bu proses aşağıdaki tersinir reaksiyona dayanır;



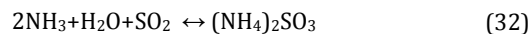
Prosesin iki temel problemi vardır. Bunlar; absorban  $(\text{NH}_4)_2\text{SO}_3$ 'in yükseltgenerek  $(\text{NH}_4)\text{SO}_4$ 'a dönüşmesi ve buharlaştırma ile amonyağın kaybidir [6].

#### 1.3.2 Cominco Prosesi

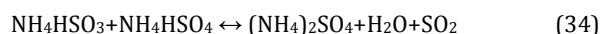
Cominco prosesi, gaz akımında geniş aralıklı  $\text{SO}_2$  konsantrasyonu için yüksek oranda  $\text{SO}_2$  tutma kapasitesine sahiptir. Seyreltik  $\text{NH}_3$  çözeltisi ile yılanan baca gazı daha sonra  $\text{H}_2\text{SO}_4$  ile muamele edilir, içerdiği  $\text{SO}_2$  derişik gaz halinde kazanılır. Çözelti buharlaştırılır,  $(\text{NH}_4)_2\text{SO}_4$  kristallendirilir ve gübre olarak kullanılabilir. Elde edilen  $\text{SO}_2$ ,  $\text{H}_2\text{SO}_4$  üretimi için kullanılır. Bu prosesin ana problemi sistemden  $\text{NH}_3$  kaybidir. Genellikle metalurjideki fırın gazlarının temizlenmesi için kullanılır [25].

#### 1.3.3 Amonyak-Amonyum Bisülfat Prosesi

Amonyak absorpsiyon-amonyum bisülfat rejenerasyon prosesinde (ABS) bir absorpsiyon kolonunda sulu amonyak çözeltisi ile baca gazı yılanır, aşağıdaki reaksiyonlara göre amonyum sülfit ve amonyum bisülfat çözeltisi elde edilir;



Bu çözelti, amonyum bisülfat ile muamele edilir ve satılabilir bir ürün olan  $\text{SO}_2$  gazı sıvı ortamdan ayrılır;



Amonyum bisülfatın ve amonyağın tekrar kullanılması için aşağıdaki reaksiyona göre amonyum sülfit çözeltisi buharlaştırılır ve kalan kristaller termal olarak ayırtırılır [26];



#### 1.3.4 Walther Prosesi

Bu prosesde tozu alınmış sıcak baca gazı içerisinde  $\text{NH}_3$  çözeltisi püskürtülür. Bir kurutucudan ve elektrofiltreden geçirilerek yıkama kulelerine gönderilir. Yıkama kulelerinden çıkan temizlenmiş gaz, gelen sıcak gaz ile ısıtılp atmosfere atılır. Çıkan çözelti, bir oksidatörde hava oksijeni ile  $(\text{NH}_4)_2\text{SO}_4$ 'a yükseltilen, püskürtmeli kurutucuda buharlaştırılır. Burada ortamda bulunan  $(\text{NH}_4)_2\text{SO}_3$  ve  $(\text{NH}_4)_2\text{CO}_3$ ;  $\text{NH}_3$ ,  $\text{SO}_2$  ve  $\text{CO}_2$ 'e parçalanır ve  $(\text{NH}_4)_2\text{SO}_4$  katı halde elde edilir. Walther prosesi, amonyum sülfit suni gübre üreten bir sulu amonyak FGD prosesidir. Kuru amonyum sülfit gübresi üretilmesi, giriş gazında çok miktarda bulunan  $\text{SO}_2$ 'yi tutma kapasitesi yüksek olması avantajları arasındadır. Buna karşın zararlı kimyasal maddelerin gübrede kalması bu prosesin dezavantajıdır [5, 9].

### 1.3.5 Amonyak-Kireç Çift Alkali Prosesi

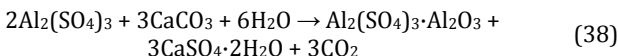
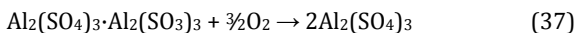
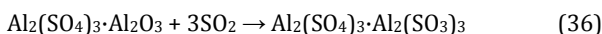
Çift alkali prosesinde absorban çözeltisinin aktif bileşeni olarak sodyum bileşiklerinin yerine amonyağın kullanıldığı birkaç proses vardır. Amonyak içeren çift alkali prosesi, ıslak kireç/kireç taşı prosesi ile mukayese edildiğinde absorpsiyon adında berrak bir çözelti kullanan sodyum içerikli proses ile aynı avantajlara sahiptir. Ancak her iki çift alkali proses de daha yüksek yatırımlı maliyeti gerektiren kireç/kireç taşı prosesinden daha karmaşıktr [6]. Bu proseste  $\text{SO}_2$ , amonyum tuzu çözeltisinde absorplanır daha sonra absorbanın rejenerasyonu ve jipsin çöktürülmesi için kireç ile reaksiyona sokulur [9].

### 1.3.6 Amonyum-Kalsiyum Pirofosfat Prosesi

Kalsiyum ve amonyum pirofosfat çözeltisi ile iki absorpsiyon kulesinde, baca gazından  $\text{SO}_2$  absorplanır ve amonyak ile bu çözelti nötralize edilir. Çöken  $\text{CaSO}_4$  ve  $\text{CaSO}_3$  ayrıldıktan sonra çözeltiden  $(\text{NH}_4)_4\text{P}_2\text{O}_7$  kristallendirilir. Sonuçta pazar değeri olan bir gübre elde edilir. Kalan çözelti, absorpsiyon kolonlarına tekrar gönderilir. Yüksek miktarda çözücü kaybı, gübre içerisinde tehlikeli kimyasal madde içerebilmesi prosesin dezavantajları arasındadır [9].

### 1.4 Alüminyum Sülfat Prosesleri

Baca gazi, absorpsiyon kulesinde bazik alüminyum sülfat çözeltisi ile zit yönlü olarak temas eder ve  $\text{SO}_2$  absorplanır. Daha sonra çözelti hava ile oksitlenir. Okside olmuş çözeltinin bir kısmı kireç taşı ilavesi ile nötralize edilir ve absorpsiyon kulesine geri gönderilir. Prosesin temel kimyasal reaksiyonları aşağıdaki şekildedir;



Prosesde kullanılan berrak çözelti paslanma ve tikanma problemlerini azaltır, giriş gazında  $\text{SO}_2$ 'nin geniş bir aralığı için yüksek miktarda geri kazanma kapasitesi vardır [9, 24].

### 1.5 Isıl Rejenerasyonlu FeS Prosesleri

$\text{SO}_2$  giderimi için demir sülfür kullanan tek sistem olan Sulf-X prosesinde baca gazi  $\text{FeS}$  sulu süspansiyonu ile yanılır. Baca gazındaki  $\text{SO}_2$  ile  $\text{Fe}_x\text{S}_y$  ve  $\text{FeSO}_4$  gibi daha kompleks demir kükürt bileşenleri oluşur. Daha sonra absorban çamuru  $\text{FeSO}_4$ 'ü,  $\text{Na}_2\text{SO}_4$  ve  $\text{Fe}$ 'e dönüştürmek için  $\text{Na}_2\text{S}$  ile muamele görür. Çöken kısım  $760$  °C'de kok ile kalsine edilir. Bu termal işlem sonucunda  $\text{Fe}_{x,y}\text{S}$ 'ler tam olarak  $\text{FeS}$  ve elementel kükürde,  $\text{Na}_2\text{SO}_4$  ise  $\text{Na}_2\text{S}$ 'e dönüşür.  $\text{FeS}$  ve  $\text{Na}_2\text{S}$  proseste tekrar kullanılmak üzere sisteme beslenir. Bu proseste direkt olarak ticari değeri olan kükürde elde edilir,  $\text{SO}_2$  ve  $\text{NO}_x$  beraber kontrol edilebilir. Buna rağmen yüksek sıcaklık gerektiren kalsinatörler kullanılır [9, 27].

### 1.6 Chiyoda Sülfürük Asit Prosesi

Bu proses çift alkali prosesin alternatifidir.  $\text{SO}_2$ , bir absorpsiyon kolonunda demir iyonu içeren seyreltik sülfürük asit (% 2-3) içinde absorplanır, hava akımı ile sülfürük aside okside edilir, daha sonra aside bir kısmı kireç taşı ilavesi ile jips olarak çöktürülür ve arta kalan, absorban olarak sirküle edilir [19]. Çamurda meydana gelen paslanma ve tikanma problemleri meydana gelmez ve jips üretilir. Ancak  $\text{SO}_2$  giderme derecesi düşüktür, yüksek ölçüde korozif olan çözeltiden dolayı maliyeti yüksek olan malzemeler kullanılır [9].

### 1.7 Termal Rejenerasyonlu Amin Prosesi

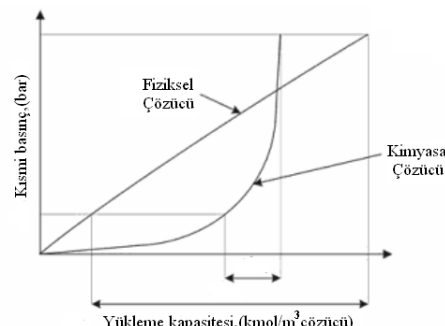
Bu proses %3-8 arasında  $\text{SO}_2$  içeren baca gazlarının desülfürizasyonu için kullanılabilir. Absorban olarak su içinde bir amine veya amine karışımının çözeltisi kullanılır.  $\text{SO}_2$  içeren gaz yıkama kulelerinde su ile muamele edilerek önce safsızlıklardan temizlenir, daha sonra nemlendirilir ve çok basamaklı absorpsiyon kulesinde amine çözeltisi ile temas ettirilir. Kulenin tabanından alınan çözelti, bir ısı değiştiricide  $\text{SO}_2$ 'den ayrılır. Soğutulan çözelti, absorpsiyon kulesine geri gönderilir. Sonuçta saf  $\text{SO}_2$  kurutulur ve depolanır [28]. Paslanma ve tikanma problemlerini azaltan, temiz bir çözelti elde edilir ve giriş konsantrasyonu yüksek olan baca gazlarına uygulanır ancak düşük  $\text{SO}_2$  uygulamaları için ekonomik değildir ve yüksek bir maliyeti sahiptir bu yüzden uygulanabilirliği kalmamıştır [9].

### 1.8 Deniz Suyu Prosesi

Deniz suyu WFGD prosesi (SWFGD) düşük işletme maliyetine sahiptir. Güvenli bir sistem olduğu için ve yüksek  $\text{SO}_2$  giderim kapasitesinden dolayı geniş çapta kullanılır. Doğal deniz suyu bol miktarda çözünebilen tuz içerir. Temel içeriği çözünebilen karbonat ve bikarbonat kadar klorür ve sülfftan olusur. Genelde pH değeri 7,5 ve 8,5 arasındadır. Bu nedenle saf deniz suyu, asit gazi absorplayan ve tampon oluşturan doğal alkaliliğe sahiptir [29]. İki temel SWFGD proses konsepti vardır; biri absorplanan  $\text{SO}_2$ 'i nötralize etmek için deniz suyunun doğal bazılığını kullanır, diğeri kireç ilavesini kullanır. Proses; deniz suyunun absorpsiyon kulesine beslenmesi, gaz içinde bulunan  $\text{SO}_2$ 'nın tutulması ve bekletme havuzunda hava ile oksitlenmesi basamaklarından oluşur. Bekletme havuzundan alınan berrak çözelti, denize geri gönderilir. Çevresel etkiler bütün SWFGD proseslerinde dikkate alınır ve atık suların denizdeki yaşama zarar vermemesine özen gösterilir [6].

### 1.9 Fiziksel Çözücü Prosesleri

Fiziksel çözücü prosesleri, giderilecek kirlilik yüksek konsantrasyonda olduğu zaman ve/veya muamele görecek gaz yüksek basınçta olduğu zaman uygulanabilir, ekonomik bir prosedur. Desülfürizasyona ihtiyaç duyan baca gazlarında, bu şartların hiç biri normalde bulunmaz. Ancak  $\text{SO}_2$ 'nın çözünürlüğü, fiziksel organik çözücü proseslerinde kullanılan tetraetilenglikol dimetileter gibi bazı organik çözücülerde oldukça yüksektir. Baca gazında  $\text{SO}_2$  konsantrasyonu, normal olmayan bir şekilde yüksek ve/veya geniş aralıklarda dalgalandığı zaman bu proses uygulanır. Kimyasal ve fiziksel çözücü içindeki çözünürlük üzerine kısmi basıncın farklı etkilerinden dolayı dalgalandan  $\text{SO}_2$  konsantrasyonu kimyasal çözücüye kıyasla fiziksel çözücü ile daha iyi kontrol edilebilir (Şekil 10).



Şekil 10: Fiziksel ve kimyasal çözüçülerin kısmi basınçla karşı yükleme kapasiteleri.

$\text{SO}_2$ 'nin çözünürlüğü fiziksel çözücüde kısmi basınç ile yaklaşık olarak lineer bir şekilde artar, fakat kısmi basınç arttığı zaman kimyasal çözücüde çözünürlük çok az miktarda artar veya hiç artmaz [30].  $\text{SO}_2$  içeren gaz önce safsızlıklardan arındırılır, daha sonra bir absorpsiyon kolonunda zit yönde gelen çözücü ile temas ettirilir. Temizlenen gaz atmosfere atılır, çözelti bir ısı değiştiricide ısıtılarak  $\text{SO}_2$  alınır, geri kalan temiz çözelti absorpsiyon kolonuna geri gönderilir. Kimyasal reaktif çözücüye göre fiziksel çözücüün diğer avantajları şunlardır;

- o Proses fazla ısı gerektirmez,
- o Kireç/kireç taşı çamur prosesi gibi rejeneratif olmayan sistemlerden daha kıymetli yan ürün üretilir,
- o Hem absorpsiyon hem de rejenerasyon adımlarında tek fazlı, berrak bir sıvı ile işlem yapılabilir [6].

### 1.10 Erimiş Tuz Prosesi

Bu prosesle baca gazı yaklaşık olarak 350 °C'de alkali metal karbonat karışımının eriyiği ile temas ettirilir ve  $\text{SO}_2$  absorplanır. Yüklü eriyik 500 °C'de,  $\text{H}_2$  ve  $\text{CO}_2$  içeren bir gaz karışımı ile muamele görür. Böylece metal sülfitler; metal karbonat ve  $\text{H}_2\text{S}$ 'e dönüşür.  $\text{H}_2\text{S}$  geri kazanılır ve metal karbonatlar  $\text{SO}_2$  absorbanı olarak yeniden kullanılır.  $\text{LiCl-KCl-Li}_2\text{CO}_3$  karışımı düşük sıcaklıkta eriyen metal karbonatların karışımına bir örnek olarak verilebilir [31]. Bu yöntem, ticari olarak uygulanmamasına rağmen bu teknolojide tek olduğu için ilgi çekicidir. Prosesin avantajı kullanışlı bir yan ürün elde edilmesi (küükür) ve su buharı ilave etmemesinin yüksek bir sıcaklıkta baca gazına muamele edilebilmesidir [6].

## 2 Teşekkür

Pamukkale Üniversitesi, Mühendislik Bilimleri Dergisine katkı sağlayan tüm yazar ve hakemlere teşekkür ederiz.

## 3 Kaynaklar

- [1] Müezzinoğlu, A., Hava Kirliliği ve Kontrolünün Esasları, Dokuz Eylül Üniv. Yayınları, No: 0908, İzmir, 1987.
- [2] Biswal, K. C. and Roy, G. K., "Sulphur Dioxide Pollution Control by Wet Scrubbing Methods", Reprinted from the Journal of the Institution of Engineers (India), 62, 120-126, 1982.
- [3] Hamm, V. H. and Hüller, R., "Das zweistufige Knauf-Research-Cottrell-Verfahren zur Rauchgasentschwefelung am Beispiel des Kraftwerkes Franken", Zement-Kalk-Gips, 6, 313-317, 1982.
- [4] Gutberlet, V.H., "Gips aus der Rauchgas-entschwefelung", VGB Kraftwerkstechnik, 63 (4), 335-344, 1983.
- [5] Kaminsky, W., "Verfahren zur Enstschwefelung von Rauchgas", Chem.-Ing.-Tech, 55 (9), 667-683, 1983.
- [6] Kohl, A. and Nielsen, R., "Gas Purification", Gulf Publishing Company, Houston, Texas, 469-603, 1997.
- [7] Mohn, U., "Steinmüller-Rauchgasentschwefelung", VDI-Berichte 495, 83-89, 1984.
- [8] Schönbucher, B., "Rauchgasentschwe-felungsanlagen im Kraftwerk Heilbronn", VDI-Berichte, 495, 93-100, 1984.
- [9] Lunt, R. R., Little, A. D. and Cunic, J. D., "Profiles in Flue Gas Desulfurization", AIChE, New York. 1-140, 2000.
- [10] Ramachandran, P.A. and Sharma, M. M., "Absorption with Fas Reaction in a Slurry Containing Sparingly Soluble Fine Particles", Chemical Enginerring Science, 24, 1681-1689, 1969.
- [11] Uchida, S. and Wen, C. Y., "Rate of Gas Absorption into a Slurry Accompanied by Instantaneous Reaction", Chemical Enginerring Science, 32, 1277-1281, 1977.
- [12] Bjerle, I., Bengtsson, S. and Farnkvist, K., "Absorption of  $\text{SO}_2$  in  $\text{CaCO}_3$ -slurry in a laminar jet absorber", Chemical Engineering Science, 27, 1853-1861, 1972.
- [13] Sada, E., Kumazawa, H. And Nishimura, H., "Absorption of Sulfur Dioxide into Aqueous Double Slurries Containing Limestone and Magnesium Hydroxide", AIChE Journal, 29 (1), 60-64, 1983.
- [14] Takashina, T., Honjo, S., Ukawa, N. and Oishi, T., "Effect of Limestone Concentration and Particle Size on  $\text{SO}_2$  Absorption in Wet FGD Process", Journal Chemical Engineering of Japan, 34, 810-818, 2001.
- [15] Takashina, T., Honjo, S., Ukawa, N. and Iwashita, K., "Effect of Ammonium Concentration on  $\text{SO}_2$  Absorption in Wet FGD Process", Journal of Chemical Engineering of Japan, 35, 197-204, 2002.
- [16] Gutberlet, V.H. "Zum Leistungsvermögen der nassen Rauchgasentschwefelung für Steinkohle-feuerungen" VGB Kraftwerkstechnik, 63 (12), 1073- 177, 1983.
- [17] Rem, R., Shi, F., Huang, X. and Jiang, D. 2011. Application of Additives to the Wet Flue Gas Desulfurization. ICETCE 2011-Proceedings. 1037-1040.
- [18] EPA (Environmental Protection Agency), "Flue Gas Desulfurization" Control Techniques for Sulfur Oxide Emissions from Stationary Sources, EPA-450/3-81-004, North Carolina, 1981, 570.
- [19] Devitt, T., Gerstle, R., Gibbs, L., Hartman, S. and Klier, R., Flue Gas Desulfurization System Capabilities for Coal-Fired Steam Generators, EPA-600/7-78-032b, Washington, 1978, 512.
- [20] Byrd, J. R., Anderson, K. D., Tomilinson, S. V. and Torstrick, R. L., "Definitive SO<sub>x</sub> Control Process Evaluations; Aqueous Carbonate and Wellman-Lord (Acid, Allied Chemical and Resox)", FGD Technologies, EPA-600/7-81-099, Washington, 1981, 320.
- [21] Neumann, U., "Regenerative Rauchgas-entschwefelung nach dem Wellman-Lord-Verfahren", VDI-Berichte, 495, 107-114, 1984.
- [22] Gresssingh, L. E., Graefe,A. F., Miller, F. E. and Barber, H., "Zinc Oxide Process" Applicability of Aqueous Solution to the Removal of  $\text{SO}_2$  from Flue Gases", Air Pollution Control Department, 1970, California, Vol. 1, 1970, 410.
- [23] Madenburg, R. S. and Kurey, R. A., "Citrate Process Demonstration Plant" Proceeding; Symposium on Flue Gas Desulfurization, EPA-600/7-78-058b, Vol.2, Washington, 1978, 1042.
- [24] Yamamichi, Y. and Nagao, J., "The Dowa's Basic Aluminum Sulfate-Gypsum Flue Gas Desulfurization Process", Proceeding; Symposium on Flue Gas Desulfurization, EPA-600/2-76-136b, Vol.2, New Orleans, 1976, 1016.
- [25] Weisenberg, I. J., Archer, T., Winkler, F. M., Browder, T. J. and Prem, A., "Cominco Ammonia Scrubbing System", Feasibility of Primary Copper Smelter Weak Sulfur Dioxide Stream Control, Applicability of Aqueous Solution to the Removal of  $\text{SO}_2$  from Flue Gases, EPA-600/2-80-152, Vol.1, California, 1980, 520.
- [26] Williamson, P. C. and Puschaver, E. J., "Ammonia Absorption/Ammonium Bisulfate Regeneration Pilot Plant for Flue Gas Desulfurization", Ammonia Absorption/Ammonium Bisulfate Regeneration Pilot Plant for Flue Gas Desulfurization, EPA-600/2-77-149, Washington, 1977, 214.
- [27] Shapiro, E. and Ellison, W., "The SULF-X Process", Proceeding; Eighth Symposium on Flue Gas Desulfurization, EPRI CS-3706, Vol.2, Washington, 1984, 129.

- [28] EPA (Environmental Protection Agency), "Dimethylaniline (DMA) Scrubbing Systems", Background Information for New Source Performance Standards; Primary Copper , Zinc and Lead Smelters, EPA-450/2-74-002a, Vol. 1, North Carolina, 1974, 790.
- [29] Kefa, C., Yong, C. and Fei, W., "Environmental Protection", Challenges of Power Engineering and Environment. Proceedings of the International Conference on Power Engineering, Vol.2, New York, 2007, 1434.
- [30] Bruce, M. and David, T., Combustion Engineering Issues for Solid Fuel Systems, Academic Press, USA, 2008.
- [31] Heredy, L. A., Mc Kenzie, D. E. And Yosim, S. J. 1969. Removal of Sulfur Oxides from Flue Gas. U. S. Pat 3 438 722 (Cl, 23-2) April 15, 1969.